

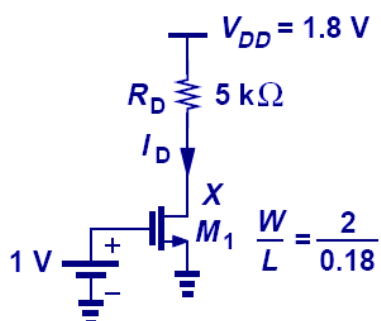
# EE 530 Eletrônica Básica I

## Física dos Transistores de Efeito de Campo (FET)

Prof. Pedro Xavier

### Resposta exercício-aula passada

- Exemplo 6.6 - Razavi: Calcule  $I_D$  e  $V_D$ , se  $V_G$  aumentar de 10 mV, qual o novo valor de  $V_D$ ?



$$\mu_n C_{ox} = 100 \mu\text{A}/\text{V}^2 \text{ and } V_{TH} = 0.4\text{ V.}$$

Prof. Pedro Xavier

## Resposta exercício-aula passada

- Exemplo 6.6 - Razavi: Calcule  $I_D$  e  $V_D$ , se  $V_G$  aumentar de 10 mV, qual o novo valor de  $V_D$ ?

# Exemplo 6.6 (RAZAVI)

$V_{GS} = 1,8V$      $\mu_n C_{ox} = 100 \mu A/V^2$   
 $R_D = 5K\Omega$      $V_{TH} = 0,4V$

Supon que está na saturação

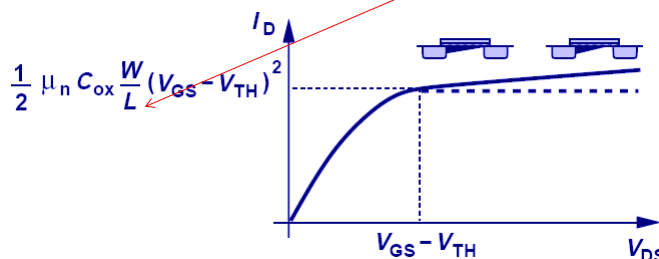
$I_D = \frac{1}{2} \mu_n C_{ox} \frac{W}{L} (V_{GS} - V_{TH})^2 \Rightarrow I_D = 2 \cdot 10^{-4} A$

$V_D = V_{cc} - R_D \cdot I_D \Rightarrow V_D = 0,8V$      $\Rightarrow V_{GS} - V_{TH} \Rightarrow$  região de saturação

• Para  $V_{GS} = 1,01V \Rightarrow$   $\begin{cases} I_D = 2,0672 \cdot 10^{-4} A \\ V_D = 0,7664 \geq V_{GS} - V_{TH} \end{cases}$

## Modulação do comprimento do canal

- O aumento de  $V_{DS}$ , causa um aumento do estrangulamento do canal, diminuindo seu comprimento efetivo ( $L$ ).
- $I_D$  aumenta com  $V_{DS}$

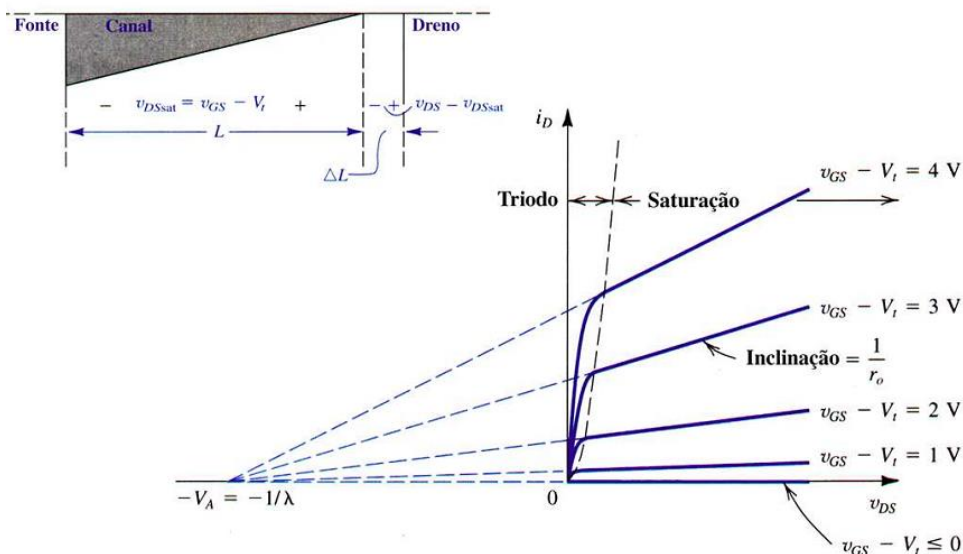


$$I_D = \frac{1}{2} \mu_n C_{ox} \frac{W}{L} (V_{GS} - V_{TH})^2 (1 + \lambda V_{DS})$$

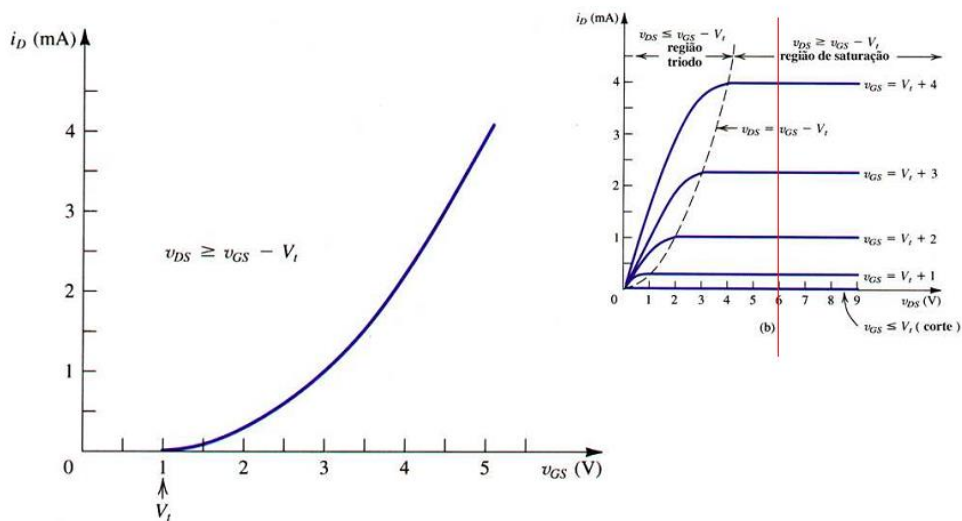
$\lambda$ : coeficiente de modulação do comprimento do canal

Prof. Pedro Xavier

## Modulação do comprimento do canal



## Característica $i_D - v_{GS}$ do NMOS na saturação

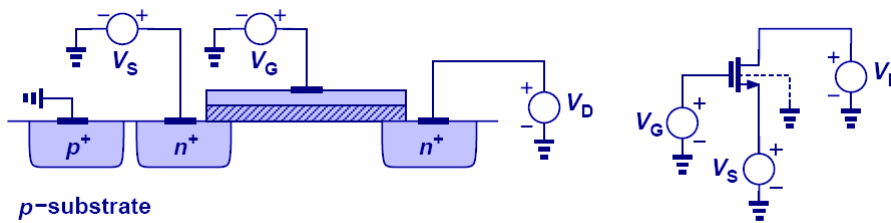


$$V_t = 1 \text{ V e } k'_n (W/L) = 0.5 \text{ mA/V}^2$$

$$i_D = \frac{1}{2} k'_n \frac{W}{L} (v_{GS} - V_t)^2$$

# Efeito de Corpo

Quando  $V_S \neq V_B$  (tensão de corpo),  $V_{TH}$  é alterado.



$$V_{TH} = V_{TH0} + \gamma(\sqrt{2\phi_F + V_{SB}} - \sqrt{2\phi_F})$$

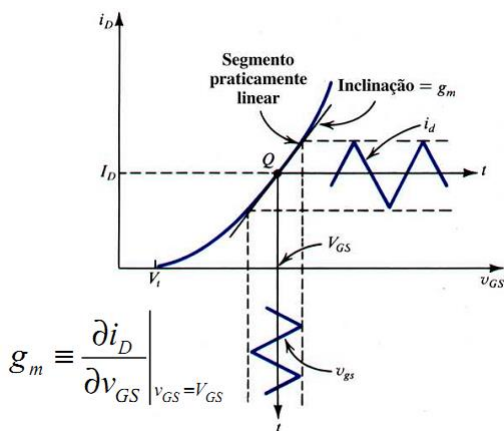
$V_{TH0}$ : Tensão limiar para  $V_{SB}=0$

$\gamma$  e  $\phi_f$ : parâmetros dependentes da tecnologia

Prof. Pedro Xavier

$$\gamma = \frac{\sqrt{2qN_A\epsilon_S}}{C_{ox}}$$

# Transcondutância MOS (saturação)



$$I_D = \frac{1}{2} \mu_n C_{ox} \frac{W}{L} [(V_{GS} - V_{TH})^2]$$

$$g_m = \frac{\partial I_D}{\partial V_{GS}} = \frac{1}{2} \mu_n C_{ox} \frac{W}{L} 2(V_{GS} - V_{TH})$$

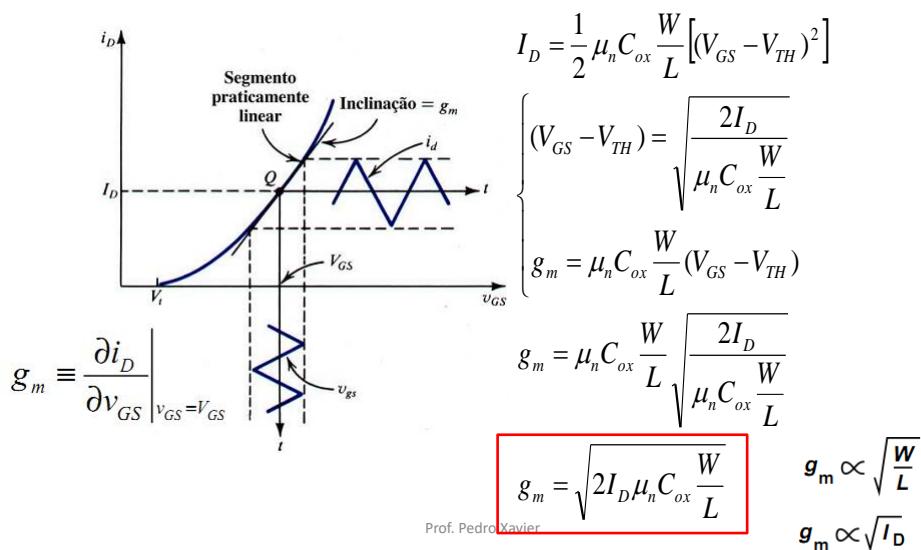
$$g_m = \mu_n C_{ox} \frac{W}{L} (V_{GS} - V_{TH})$$

$$g_m \propto V_{GS} - V_{TH}$$

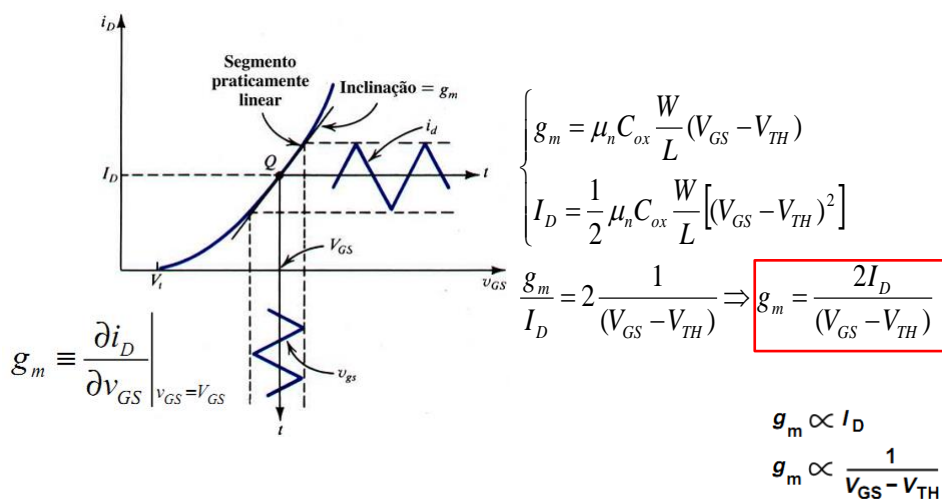
$$g_m \propto \frac{W}{L}$$

Prof. Pedro Xavier

## Transcondutância MOS (saturação)

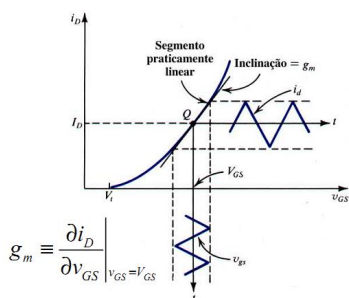


## Transcondutância MOS (saturação)



# Transcondutância MOS (saturação)

• Resumo



$$g_m \equiv \left. \frac{\partial i_D}{\partial v_{GS}} \right|_{v_{GS}=V_{GS}}$$

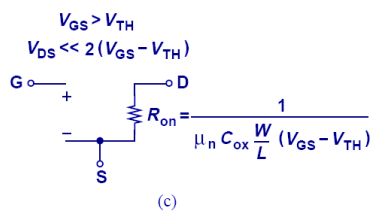
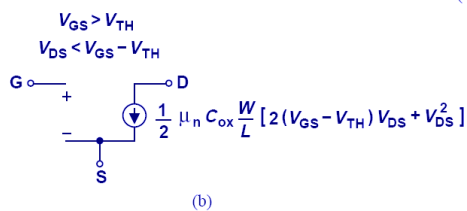
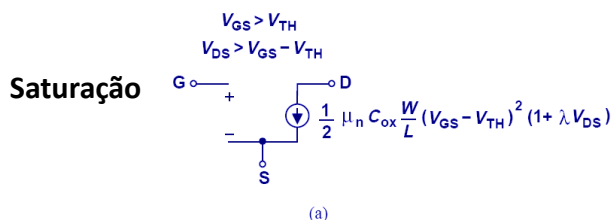
$$g_m = \mu_n C_{ox} \frac{W}{L} (V_{GS} - V_{TH})$$

$$g_m = \sqrt{2\mu_n C_{ox} \frac{W}{L} I_D}$$

$$g_m = \frac{2I_D}{V_{GS} - V_{TH}}$$

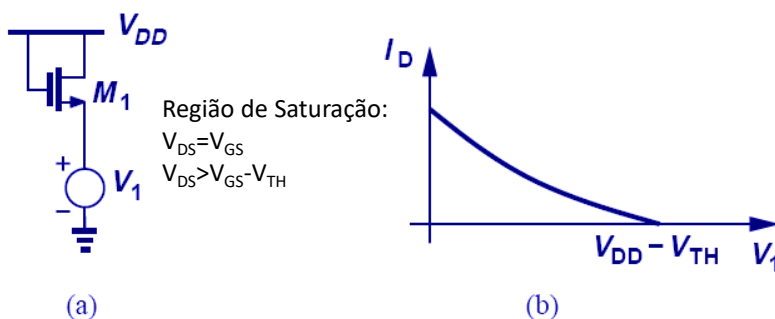
Prof. Pedro Xavier

## Modelo de Grandes Sinais



Prof. Pedro Xavier

## Exemplo

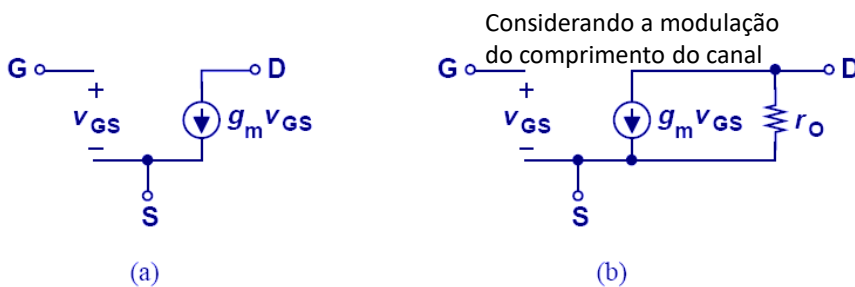


$$I_D = \frac{1}{2} \mu_n C_{ox} \frac{W}{L} (V_{GS} - V_{TH})^2$$

$$I_D = \frac{1}{2} \mu_n C_{ox} \frac{W}{L} (V_{DD} - V_1 - V_{TH})^2$$

Prof. Pedro Xavier

## Modelo de Pequenos Sinais



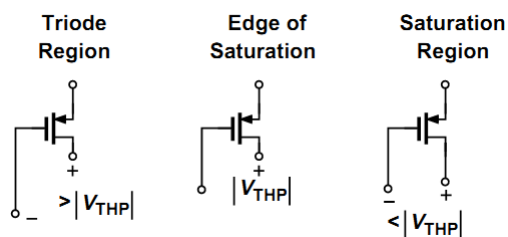
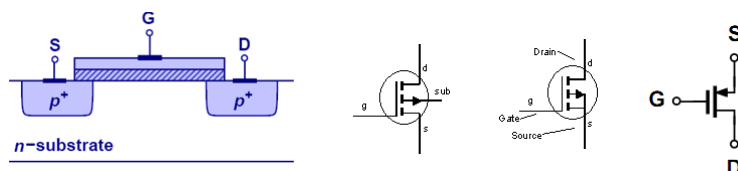
$$I_D = \frac{1}{2} \mu_n C_{ox} \frac{W}{L} (V_{GS} - V_{TH})^2 (1 + \lambda V_{DS})$$

$$r_o = \left( \frac{\partial I_D}{\partial V_{DS}} \right)^{-1} = \frac{1}{\frac{1}{2} \mu_n C_{ox} \frac{W}{L} (V_{GS} - V_{TH})^2 \lambda}$$

$$r_o = \frac{1}{\lambda I_D}$$

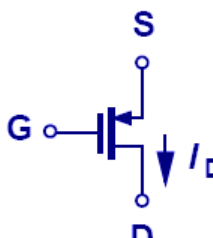
Prof. Pedro Xavier

## Transistor PMOS



Prof. Pedro Xavier

## Transistor PMOS - Equações



$$I_{D,sat} = \frac{1}{2} \mu_p C_{ox} \frac{W}{L} (V_{GS} - V_{TH})^2 (1 - \lambda V_{DS})$$

$$I_{D,tri} = \frac{1}{2} \mu_p C_{ox} \frac{W}{L} [2(V_{GS} - V_{TH})V_{DS} - V_{DS}^2]$$

$$I_{D,sat} = \frac{1}{2} \mu_p C_{ox} \frac{W}{L} (|V_{GS}| - |V_{TH}|)^2 (1 + \lambda |V_{DS}|)$$

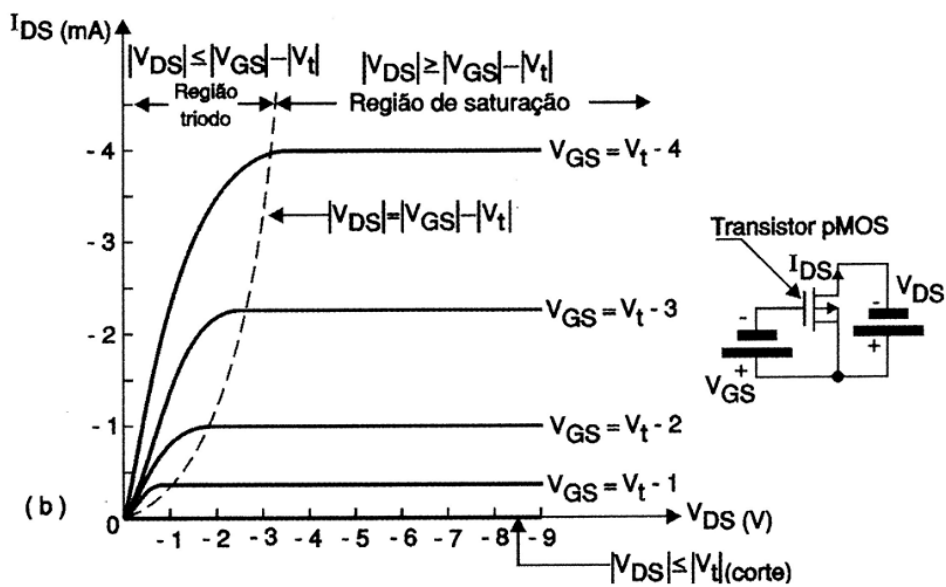
$$I_{D,tri} = \frac{1}{2} \mu_p C_{ox} \frac{W}{L} [2(|V_{GS}| - |V_{TH}|)|V_{DS}| - V_{DS}^2]$$

**Obs: O modelo de pequenos sinais é o mesmo**

Prof. Pedro Xavier

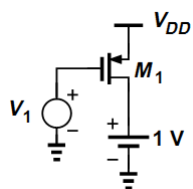


## Característica $i_D - v_{DS}$ para o PMOS



## Exemplo 6.15 - Razavi

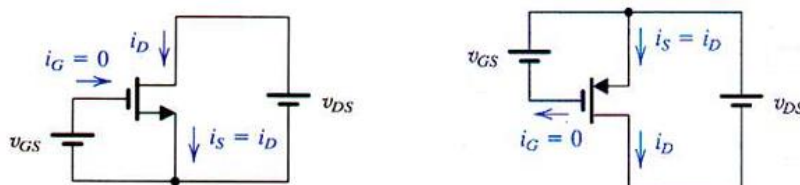
- Determine a região de operação de M1, de acordo com  $V_1$  ( $V_{DD}$  a 0V).



$$V_{DD} = 2.5 \text{ V}$$

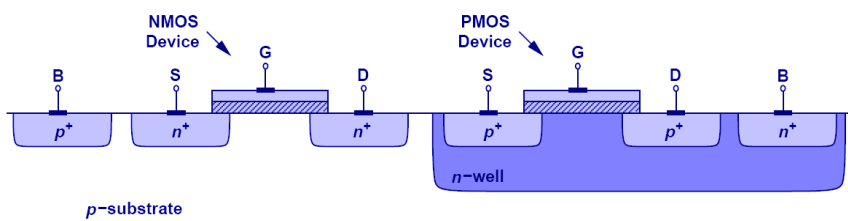
$$|V_{TH}| = 0.5 \text{ V}$$

## Comparação PMOS - NMOS



Prof. Pedro Xavier

## CMOS (MOS COMPLEMENTAR)



Prof. Pedro Xavier

## Comparação MOSFET - TBJ

Bipolar Transistor	MOSFET
Exponential Characteristic Active: $V_{CB} > 0$ Saturation: $V_{CB} < 0$ Finite Base Current Early Effect Diffusion Current -	Quadratic Characteristic Saturation: $V_{DS} > V_{GS} - V_{TH}$ Triode: $V_{DS} < V_{GS} - V_{TH}$ Zero Gate Current Channel-Length Modulation Drift Current Voltage-Dependent Resistor

Prof. Pedro Xavier

## Fontes de figuras da aula

- Aula do prof. Fabiano Fruett
- Fundamentos de Microeletrônica (Razavi)
- Microeletrônica (Sedra)

Prof. Pedro Xavier

## Sugestão de estudo

- Razavi, Cap. 6
- Sedra/Smith cap. 5 seções 5.1 até 5.3
  - Exercícios e problemas correspondentes

Para saber mais:

Paul R. Gray e Robert G. Meyer, Analysis and Design of Analog integrated Circuits, John Wiley & Sons

T. Tsvetkov, Design considerations in single-channel MOS analog integrated circuits – A tutorial”, IEEE JSSC SC 13, pp 383-391, junho de 1978

## Efeito da Velocidade de Saturação em Transistores com o Canal Curto

